

01;03

# О расчете осцилляций слоя вязкой жидкости на поверхности твердого сферического ядра в рамках теории пограничного слоя

© А.И. Григорьев, С.О. Ширяева, А.Р. Паранин

Ярославский государственный университет им. П.Г. Демидова,  
150000 Россия, Ярославль  
e-mail: grig@uniyar.ac.ru

(Поступило в Редакцию 16 июня 2010 г.)

Предлагается модификация теории пограничного слоя вблизи совершающей периодические движения свободной поверхности сферического слоя вязкой жидкости на твердом ядре. Для адекватного описания течения вязкой жидкости в обсуждаемой системе вводятся два пограничных слоя: один у свободной поверхности жидкости и другой — у твердого дна. Получены оценки толщины пограничных слоев, при которых в асимптотике малой вязкости различие между точным решением модельной задачи может быть задано с заранее определенной точностью. Показано, что учет пограничного слоя вблизи твердого дна актуален только для низких мод осцилляций. Для высоких мод движение жидкости возле твердого ядра можно считать потенциальным. В тонких слоях жидкости (для низких мод) приповерхностный и придонный пограничные слои перекрываются, а вихревое движение заполняет весь объем слоя жидкости.

## Введение

Исследование закономерностей осцилляций конечной амплитуды слоя воды на поверхности тающей градины в условиях грозового облака представляет интерес в связи с изучением физического механизма инициирования разряда молнии и процессов разделения зарядов в грозовых облаках [1–5]. Эта проблема важна и для изучения закономерностей функционирования масс-спектрометров для анализа труднотлетучих жидкостей и жидкостей органического происхождения, функционирующих при низких температурах, когда исследуемая жидкость замерзает, и эмиссия заряженных микрокапелек и кластеров идет с поверхности тонкого слоя жидкости на поверхности ледяного ядра [6–9].

Задача расчета линейных осцилляций слоя вязкой жидкости на твердом ядре сама по себе достаточно проста и неоднократно решалась [10,11], но расчет нелинейных осцилляций слоя вязкой жидкости уже существенно более сложен и выполнен пока лишь для модели идеальной жидкости [5,12]. Возможность применения к нелинейным расчетам теории пограничного слоя, которая в недавних работах [13,14] была корректно обобщена на учет вихреобразования под свободной поверхностью вязкой жидкости, совершающей периодические движения, оставляет надежду на получение умеренно громоздких аналитических результатов, применимых с контролируемой точностью. В этой связи и проведено настоящее исследование возможности применения к расчетам осцилляций слоя жидкости на поверхности твердого сферического ядра теории пограничного слоя с учетом наличия двух пограничных слоев: у поверхности твердого ядра и у свободной поверхности жидкости, по аналогии с тем, как это делалось в [13–15].

## 1. Формулировка задачи о расчете осцилляций слоя вязкой жидкости на поверхности твердого сферического ядра и ее точное решение

Пусть внутри сферической капли вязкой идеально проводящей несжимаемой жидкости радиуса  $R$  находится твердое сферическое ядро радиуса  $R_0$ . Примем, что жидкость характеризуется коэффициентом кинематической вязкости  $\nu$ , плотностью  $\rho$ , коэффициентом поверхностного натяжения свободной поверхности  $\sigma$ , а вся система находится в однородном внешнем электростатическом поле напряженностью  $E_0$ .

Будем считать, что жидкий слой совершает капиллярные осцилляции вследствие задания в начальный момент времени виртуальной осесимметричной деформации равновесной сферической формы так, что форма свободной поверхности в произвольный момент времени определяется соотношением

$$F(r, \vartheta, t) = r - R - \xi(\vartheta, t) = 0; \quad |\xi| < R - R_0 \ll R_0,$$

где  $\xi = \xi(\vartheta, t)$  — малое отклонение свободной поверхности жидкости от равновесной сферической формы  $r = R$ . Зададимся целью исследовать аналитическим путем в линейном по амплитуде начальной деформации приближении временную эволюцию формы капли. Все рассмотрение проведем в сферической системе координат с началом в центре масс системы, полярный угол которой будем отсчитывать от направления  $E_0$ . В нижеследующих расчетах будем использовать безразмерные переменные, в которых  $R = \rho = \sigma = 1$ .

Система уравнений электрогидродинамики вязкой жидкости, описывающая движение жидкости в анализи-

руемой системе, имеет следующий вид:

$$\begin{aligned} \frac{d\mathbf{U}(\mathbf{r}, t)}{dt} &= -\nabla P(\mathbf{r}, t) + \nu \Delta \mathbf{U}(\mathbf{r}, t); \quad \nabla \cdot \mathbf{U}(\mathbf{r}, t) = 0; \\ \Delta \Phi(\mathbf{r}, t) &= 0; \\ r = 1 + \xi: \quad \Phi &= \text{const}; \quad \frac{dF}{dt} = 0; \\ \mathbf{n}(\boldsymbol{\tau} \cdot \nabla) \cdot \mathbf{U} + \boldsymbol{\tau}(\mathbf{n} \cdot \nabla) \cdot \mathbf{U} &= 0; \\ -P(\mathbf{r}, t) + 2\nu \mathbf{n}(\mathbf{n} \cdot \nabla) \cdot \mathbf{U} - P_E(\mathbf{r}, t) + P_\sigma(\mathbf{r}, t) &= 0; \\ r = R_0: \quad \mathbf{U} &= 0; \quad r \rightarrow \infty: \quad -\nabla \Phi \rightarrow \mathbf{E}_0; \\ t = 0: \quad \xi(\vartheta) &\equiv \sum_{l \in \Xi} Z_l P_l(\eta); \quad \eta \equiv \cos \vartheta; \quad \mathbf{U} = 0. \end{aligned} \quad (1)$$

В выписанных выражениях  $\boldsymbol{\tau}$  и  $\mathbf{n}$  — единичные векторы касательной и нормали к свободной поверхности жидкости;  $\mathbf{U}(\mathbf{r}, t) = U_r(\mathbf{r}, t)\mathbf{e}_r + U_\vartheta(\mathbf{r}, t)\mathbf{e}_\vartheta$  — поле скоростей течения жидкости в капле, связанного с осцилляциями ее свободной поверхности;  $\mathbf{e}_r$  и  $\mathbf{e}_\vartheta$  — орты сферической системы координат;  $P(\mathbf{r}, t)$  — гидродинамическое давление в капле;  $\Phi(\mathbf{r}, t)$  — потенциал электростатического поля, в нижеследующих расчетах первого порядка малости будем полагать, что  $\Phi(\mathbf{r}, t) \equiv E_0 z + \phi(\mathbf{r}, t)$ , где  $\phi(\mathbf{r}, t)$  — поправка первого порядка малости;  $Z_l$  — амплитуда начальной деформации  $l$ -й моды;  $P_l(\eta)$  — полином Лежандра порядка  $l$ ;  $\Xi$  — множество номеров мод, суперпозиция которых определяет начальную деформацию капли;  $P_\sigma \equiv 2 - (2 + \Delta_\Omega)\xi$ ,  $\Delta_\Omega$  — угловая часть оператора Лапласа в сферической системе координат;  $P_E$  — давление электрического поля на свободную поверхность слоя жидкости (см. „Приложение“). Поскольку движения жидкости порождаются начальной деформацией, то амплитуда поля скоростей течения жидкости  $\mathbf{U}(\mathbf{r}, t)$  в безразмерных переменных имеет тот же порядок малости, что и деформация свободной поверхности  $\xi(\vartheta, t)$ .

Сформулированная задача дополняется естественными условиями сохранения объема жидкого слоя, неподвижности его центра масс при осцилляциях и равенства нулю полного заряда системы.

Поле скоростей течения жидкости на основе теоремы Гельмгольца удобно представить в виде суперпозиции потенциальной  $U_r^{(p)}$ ,  $U_\vartheta^{(p)}$  и вихревой  $U_r^{(e)}$ ,  $U_\vartheta^{(e)}$  компонент:

$$\begin{pmatrix} U_r(\mathbf{r}, t) \\ U_\vartheta(\mathbf{r}, t) \end{pmatrix} \equiv \begin{pmatrix} U_r^{(p)}(\mathbf{r}, t) \\ U_\vartheta^{(p)}(\mathbf{r}, t) \end{pmatrix} + \begin{pmatrix} U_r^{(e)}(\mathbf{r}, t) \\ U_\vartheta^{(e)}(\mathbf{r}, t) \end{pmatrix}. \quad (2)$$

## 2. Линеаризация и скаляризация задачи

Для упрощения нижеследующего рассмотрения проведем линеаризацию и скаляризацию задачи, раскладывая ее по степеням малых величин, ограничиваясь

линейными слагаемыми и выражая векторное поле скоростей  $\mathbf{U}(\mathbf{r}, t)$  через два скалярных поля  $\varphi(\mathbf{r}, t)$  и  $\psi(\mathbf{r}, t)$  по правилу [15,16]:

$$\begin{aligned} \mathbf{U}(\mathbf{r}, t) &= \widehat{\mathbf{N}}_1 \varphi(\mathbf{r}, t) + \widehat{\mathbf{N}}_3 \psi(\mathbf{r}, t), \\ \widehat{\mathbf{N}}_1 &\equiv \nabla, \quad \widehat{\mathbf{N}}_3 \equiv \nabla \times (\nabla \times \mathbf{r}), \end{aligned} \quad (3)$$

где  $\widehat{\mathbf{N}}_1$  и  $\widehat{\mathbf{N}}_3$  — векторные дифференциальные операторы, удовлетворяющие соотношениям ортогональности и условиям коммутативности с оператором Лапласа. Оператор  $\widehat{\mathbf{N}}_1$  выделяет потенциальную часть движения, а  $\widehat{\mathbf{N}}_3$  — полоидальную вихревую. Тороидальная часть вихревого движения, выделяющаяся оператором  $\widehat{\mathbf{N}}_2 \equiv \nabla \times \mathbf{r}$ , не оказывает влияния на осцилляции поверхности жидкого слоя, как показано в [15], и из рассмотрения опущена.

Подставив (3) в уравнения (1), получим линеаризованную скалярную задачу:

$$\begin{aligned} \Delta \varphi(\mathbf{r}, t) &= 0; \quad \Delta \phi(\mathbf{r}, t) = 0; \quad \Delta \psi(\mathbf{r}, t) - \frac{1}{\nu} \frac{\partial \psi(\mathbf{r}, t)}{\partial t} = 0; \\ p^{\text{in}}(\mathbf{U}, t) &= -\frac{\partial \varphi(\mathbf{r}, t)}{\partial t}; \\ r = R_0: \quad \frac{\partial \varphi}{\partial r} - \frac{1}{r} \Delta_\Omega \psi &= 0; \quad \frac{1}{r} \frac{\partial \varphi}{\partial \vartheta} + \frac{1}{r} \frac{\partial}{\partial r} \left( r \frac{\partial \psi}{\partial \vartheta} \right) = 0; \\ r = 1: \quad \frac{\partial \xi}{\partial t} &= \frac{\partial \varphi}{\partial r} - \frac{1}{r} \Delta \psi; \\ 2 \frac{\partial}{\partial r} \left( \frac{\varphi}{r} \right) + \frac{\partial^2}{\partial r^2} \psi - (2 + \Delta_\Omega) \psi &= 0; \\ -p^{\text{in}}(\mathbf{U}, t) + 2\nu \left( \frac{\partial^2 \varphi}{\partial r^2} - \Delta_\Omega \frac{\partial}{\partial r} \left( \frac{\psi}{r} \right) \right) &= 0; \\ -p_E(\xi) + p_\sigma(\xi) &= 0; \\ r \rightarrow \infty: \quad -\nabla \phi &\rightarrow 0; \\ t = 0: \quad \xi(\vartheta) &\equiv \sum_{l \in \Xi} Z_l P_l(\eta); \quad \eta \equiv \cos \vartheta; \quad \mathbf{U} = 0. \end{aligned} \quad (4)$$

При этом проекции поля скоростей  $\mathbf{U}(\mathbf{r}, t)$  на орты сферической системы координат выражаются через функции  $\varphi(\mathbf{r}, t)$  и  $\psi(\mathbf{r}, t)$  следующим образом:

$$U_r \equiv \frac{\partial \varphi}{\partial r} - \frac{1}{r} \Delta_\Omega \psi, \quad U_\vartheta \equiv \frac{1}{r} \frac{\partial \varphi}{\partial \vartheta} + \frac{1}{r} \frac{\partial}{\partial r} \left( r \frac{\partial \psi}{\partial \vartheta} \right). \quad (6)$$

В (5)  $p_E(\xi)$ ,  $p_\sigma(\xi)$ ,  $p^{\text{in}}$  — компоненты первого порядка малости полного электрического, капиллярного и гидродинамического давления.

## 3. Поиск точного решения

Полагая

$$\xi(\vartheta, t) \equiv \sum_n \alpha_n P_n(\eta) \exp(st); \quad \eta \equiv \cos \vartheta, \quad (7)$$

решение системы уравнений (4) для скалярных полей  $\varphi(\mathbf{r}, t)$  и  $\psi(\mathbf{r}, t)$  будем искать в виде

$$\varphi(\mathbf{r}, t) \equiv \sum_n [C_n^{(1)} r^n + D_n^{(1)} r^{-(n+1)}] P_n(\eta) \exp(st);$$

$$\psi(\mathbf{r}, t) \equiv \sum_n [C_n^{(3)} i_n(xr) + D_n^{(3)} k_n(xr)] P_n(\eta) \exp(st);$$

$$x \equiv \sqrt{s/\nu}; \quad (8)$$

$\alpha_n, C_n^{(1)}, D_n^{(1)}, C_n^{(3)}, D_n^{(3)}$  — константы;  $i_n(xr)$  и  $k_n(xr)$  — модифицированные сферические функции Бесселя 1-го и 3-го рода [17].

Подставив решения (7), (8) в систему скаляризованных граничных условий (5), получим систему однородных алгебраических уравнений относительно неизвестных коэффициентов  $\alpha_n, C_n^{(1)}, D_n^{(1)}, C_n^{(3)}, D_n^{(3)}$ . Условием совместности этих уравнений является равенство нулю определителя системы, составленного из множителей при неизвестных коэффициентах:

$$\det A_{ij} = 0, \quad (9)$$

$$A_{11} \equiv n, \quad A_{12} \equiv -(n+1), \quad A_{13} \equiv n(n+1)i_n(x),$$

$$A_{14} \equiv n(n+1)k_n(x), \quad A_{15} \equiv -s,$$

$$A_{21} \equiv 2(n-1), \quad A_{22} \equiv -2(n+2);$$

$$A_{23} \equiv -2xi_{n+1}(x) + [x^2 + 2(n+1)(n-1)]i_n(x),$$

$$A_{24} \equiv 2xk_{n+1}(x) + [x^2 + 2(n+1)(n-1)]k_n(x), \quad A_{25} \equiv 0,$$

$$A_{31} \equiv s + 2\nu n(n-1), \quad A_{32} \equiv s + 2\nu(n+1)(n+2),$$

$$A_{33} \equiv 2\nu n(n+1)[xi_{n+1}(x) + (n-1)i_n(x)],$$

$$A_{34} \equiv 2\nu n(n+1)[-xk_{n+1}(x) + (n-1)k_n(x)],$$

$$A_{35} \equiv (n-1)(n+2)\chi, \quad A_{41} \equiv nR_0^{(n-1)},$$

$$A_{42} \equiv -(n+1)R_0^{-(n+2)}, \quad A_{43} \equiv \frac{n(n+1)}{R_0} i_n(xR_0),$$

$$A_{44} \equiv \frac{n(n+1)}{R_0} k_n(xR_0), \quad A_{45} \equiv 0, \quad A_{51} \equiv R_0^{(n-1)},$$

$$A_{52} \equiv R_0^{-(n+2)}, \quad A_{53} \equiv xi_{n+1}(xR_0) + \frac{(n+1)}{R_0} i_n(xR_0),$$

$$A_{54} \equiv -xk_{n+1}(xR_0) + \frac{(n+1)}{R_0} k_n(xR_0), \quad A_{55} = 0;$$

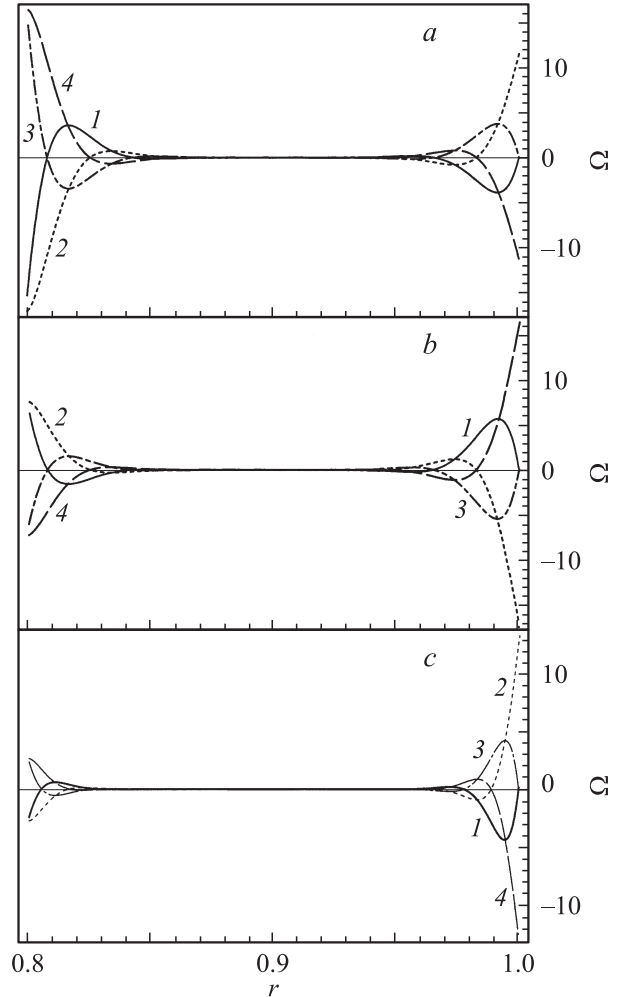
$$\chi \equiv 1 - \frac{E_0^2 \tau(n)}{4\pi(n-1)(n+2)},$$

$$\tau(n) \equiv \frac{3n(12n^3 + 10n^2 - 12n - 1)}{(4n^2 - 1)(2n + 3)}.$$

Выражая из граничных условий коэффициенты  $\alpha_n, C_n^{(1)}, D_n^{(1)}, C_n^{(3)}, D_n^{(3)}$  через амплитуды начальной деформации  $Z_n$  и удовлетворяя начальным условиям, можно

найти окончательные выражения для искомых функций. В частности, для одномодовой начальной деформации получим  $\alpha_n = Z_n$ . Аналитические выражения для коэффициентов  $C_n^{(1)}, D_n^{(1)}, C_n^{(3)}, D_n^{(3)}$  весьма громоздки и их явный вид приведен в приложении лишь в асимптотике малой вязкости:  $\nu \rightarrow 0$ . Это целесообразно сделать, поскольку теория пограничного слоя разработана для маловязких жидкостей, и следовательно, в контексте проводимого анализа функции  $\varphi(\mathbf{r}, t)$  и  $\psi(\mathbf{r}, t)$ , а дисперсионное уравнение задачи нижеследующих построений достаточно выписать в пределе малой вязкости, когда они принимают более компактный вид (см. ниже формулы (П.1)–(П.2)).

По найденным функциям  $\varphi(\mathbf{r}, t)$  и  $\psi(\mathbf{r}, t)$ , определенным соотношениями (8), с коэффициентами, приведенными в приложении соотношениями (П.1), поле скоростей течения жидкости, согласно (6), в капле легко находится простым дифференцированием. Из рис. 1, на



**Рис. 1.** Радиальная зависимость амплитуды ротора поля скоростей течения жидкости при задании в начальный момент времени деформации: а — 10-й моды; б — 14-й моды; с — 18-й моды. Кривая соответствует моменту времени  $t = 0$ ; 2 —  $t = 1/4T$ ; 3 —  $t = 1/2T$ ; 4 —  $t = 3/4T$ . Расчеты проведены при  $R_0 = 0.8, \nu = 0.002, \vartheta = \pi/3, Z_n = 0.1$ .

котором приведены зависимости от радиальной переменной амплитуды ротора поля скоростей:

$$\Omega \equiv \text{rot } \mathbf{U} \equiv \frac{1}{r} \left( \frac{\partial^2}{\partial r^2} \left( r \frac{\partial \psi}{\partial \vartheta} \right) + \frac{\partial}{\partial \vartheta} \left( \frac{1}{r \sin \vartheta} \frac{\partial}{\partial \vartheta} \left( \sin \vartheta \frac{\partial \psi}{\partial \vartheta} \right) \right) \right) \mathbf{n}_\varphi,$$

видно, что вихревое движение сконцентрировано в малой окрестности свободной поверхности жидкости, по которой бежит волна, и в малой окрестности твердого ядра, на котором обе компоненты поля скоростей обращаются в нуль. Указанное обстоятельство означает, что попытки использования для расчета характеристик волнового движения в вязкой жидкости пограничного слоя должны учитывать наличие двух пограничных слоев — приповерхностного и „придонного“, что должно быть учтено при формулировке модельной задачи.

Из рис. 1 также видно, что толщина приповерхностного и придонного пограничных слоев уменьшается с увеличением номера моды, что в плоском случае соответствует уменьшению длины волны. В частности, согласно рисункам, интенсивность вихревого движения в придонном слое быстро убывает с увеличением номера моды, иными словами, с уменьшением длины волны, бегущей по поверхности жидкости, ее взаимодействие с дном ослабевает. Для еще более высоких мод (для более коротких длин волн) вихревое движение у поверхности твердого ядра совсем прекратится, и движение жидкости у твердого дна можно будет считать потенциальным. Все сказанное согласуется с данными [14], где особенности вихревого движения, порождаемого волной, рассмотрены для плоской поверхности слоя жидкости конечной толщины на твердом дне.

#### 4. Формулировка и решение модельной задачи

Сформулируем модельную задачу, которой будем аппроксимировать точное решение (7), (8) и которая получается из точной задачи на основании представлений о погранслоном строении поля скоростей течения жидкости в слое вязкой жидкости конечной толщины. Для достижения этой цели будем исходить из предположения, что вихревая часть модельного течения сосредоточена в приповерхностном пограничном слое толщиной  $\delta_1$  и в „придонном“ пограничном слое толщиной  $\delta_2$  (см. рис. 1), а на границах пограничных слоев обращается в нуль. Потенциальная составляющая поля скоростей течения жидкости охватывает весь ее объем. В соответствии с этим потенциальное течение во всем объеме слоя жидкости и вихревые течения в приповерхностном и придонном слоях будем рассчитывать отдельно, а граничным условиям на свободной поверхности и на дне будут удовлетворять соответствующие

комбинации потенциальной и вихревой компонент поля скоростей.

#### 4а. Приповерхностный слой: $1 - \delta_1 \leq r \leq 1$

Будем полагать, что в указанной области поле скорости течения жидкости  $U^{(1)}(\mathbf{r}, t)$  состоит из вихревой и потенциальной составляющих. Толщину слоя  $\delta_1$  будем оценивать по аналогии с тем, как это делалось в [18], с точностью до постоянного множителя  $G$  в виде

$$\delta_1 = G \delta_L; \quad \delta_L \equiv \sqrt{2\nu/\omega},$$

где  $\omega$  — вещественная часть частоты  $s$ . Константу  $G$  будем определять из требования заданной точности аппроксимации точного решения модельным [13–15]. Скалярное уравнение для нахождения функции  $\psi^{(1)}$ , описывающей вихревое движение в приповерхностном слое, запишется в виде

$$1 - \delta_1 \leq r \leq 1: \quad \Delta \psi^{(1)}(\mathbf{r}, t) - \frac{1}{\nu} \frac{\partial \psi^{(1)}(\mathbf{r}, t)}{\partial t} = 0.$$

Систему граничных условий точной задачи (5) следует дополнить условием обращения ротора поля скоростей на нижней границе приповерхностного пограничного слоя в нуль, которое с учетом выражения для  $\psi^{(1)}$  можно привести к виду

$$r = 1 - \delta_1: \quad \frac{\partial}{\partial \vartheta} \psi^{(1)} = 0.$$

#### 4б. Придонный пограничный слой:

$$R_0 \leq r \leq R_0 + \delta_2$$

В придонной области идеология введения пограничного слоя несколько отлична. Пограничный слой, связанный с периодической волной, бегущей по свободной поверхности вязкой жидкости, порождается периодическим движением поверхности жидкости и обусловлен скоростью затухания вихревой части движения с глубиной. По предположению, вихревое движение жидкости, порождаемое волной, затухает на глубине  $r = 1 - \delta_1$ . Причина возникновения вихревого движения возле твердого дна, когда над ним имеется порождаемое осцилляциями свободной поверхности течение вязкой жидкости с изменяющейся во времени амплитудой, заключается в явлении прилипания жидкости ко дну (обращение на дне в нуль полной скорости течения), вследствие которого и генерируется вихревое течение с интенсивностью, экспоненциально убывающей по мере удаления от дна. Описанная ситуация аналогична обтеканию постоянным потоком жидкости твердого тела конечных размеров. Поэтому толщину пограничного слоя в окрестности дна  $\delta_2$  будем оценивать по обычной формуле теории пограничного слоя [19], но введем неопределенный численный множитель  $H$ , значение которого установим,

добиваясь заданной точности аппроксимации точного решения модельным [14]:

$$\delta_2 = H(l/\sqrt{\text{Re}}) = H(l/\sqrt{Vl/v}) = H(\sqrt{vl/V}).$$

Здесь в качестве характерного линейного размера  $l$  примем длину волны  $\lambda$ , а в качестве скорости потока  $V$  — фазовую скорость волны:  $\omega/k = \omega\lambda/2\pi$ . Окончательно для оценки толщины пограничного слоя возле твердой поверхности ядра получим

$$\delta_2 = H\sqrt{2\pi v/\omega}.$$

Для нахождения функции  $\psi^{(2)}$  запишем скалярное уравнение

$$R_0 \leq r \leq R_0 + \delta_2: \quad \Delta\psi^{(2)}(\mathbf{r}, t) - \frac{1}{v} \frac{\partial\psi^{(2)}(\mathbf{r}, t)}{\partial t} = 0$$

с условием на границе „придонного“ слоя, где ротор поля скоростей обращается в нуль

$$r = R_0 + \delta_2: \quad \frac{\partial}{\partial\vartheta} \psi^{(2)} = 0$$

и граничными условиями на дне

$$r = R_0: \quad \frac{\partial\varphi}{\partial r} - \frac{1}{r} \Delta_\Omega \psi^{(2)} = 0;$$

$$\frac{1}{r} \frac{\partial\varphi}{\partial\vartheta} + \frac{1}{r} \frac{\partial}{\partial r} \left( r \frac{\partial\psi^{(2)}}{\partial\vartheta} \right) = 0,$$

соответствующими обращению в нуль проекций поля скоростей на орты сферической системы координат  $U_r(\mathbf{r}, t)$  и  $U_\vartheta(\mathbf{r}, t)$ .

Таким образом, полная математическая формулировка модельной задачи будет иметь вид

$$R_0 \leq r \leq 1: \quad \Delta\varphi(\mathbf{r}, t) = 0; \quad \Delta\psi = 0;$$

$$P(\mathbf{r}, t) = -\frac{\partial\varphi(\mathbf{r}, t)}{\partial t};$$

$$1 - \delta_1 \leq r \leq 1: \quad \Delta\psi^{(1)}(\mathbf{r}, t) - \frac{1}{v} \frac{\partial\psi^{(1)}(\mathbf{r}, t)}{\partial t} = 0;$$

$$r = 1: \quad \frac{\partial\xi}{\partial t} = \frac{\partial\varphi}{\partial r} - \frac{1}{r} \Delta_\Omega \psi^{(1)};$$

$$2 \frac{\partial}{\partial r} \left( \frac{\varphi}{r} \right) + \frac{\partial^2}{\partial r^2} \psi^{(1)} - (2 + \Delta_\Omega) \psi^{(1)} = 0;$$

$$-p^{\text{in}}(\mathbf{r}, t) + 2v \left( \frac{\partial^2\varphi}{\partial r^2} - \Delta_\Omega \frac{\partial}{\partial r} \left( \frac{\psi^{(1)}}{r} \right) \right) - p_E(\xi) + p_\sigma(\xi) = 0;$$

$$r = 1 - \delta_1: \quad \frac{\partial}{\partial\vartheta} \psi^{(1)} = 0;$$

$$R_0 \leq r \leq R_0 + \delta_2: \quad \Delta\psi^{(2)}(\mathbf{r}, t) - \frac{1}{v} \frac{\partial\psi^{(2)}(\mathbf{r}, t)}{\partial t} = 0;$$

$$r = R_0 + \delta_2: \quad \frac{\partial}{\partial\vartheta} \psi^{(2)} = 0;$$

$$r = R_0: \quad \frac{\partial\varphi}{\partial r} - \frac{1}{r} \Delta_\Omega \psi^{(2)} = 0;$$

$$\frac{1}{r} \frac{\partial\varphi}{\partial\vartheta} + \frac{1}{r} \frac{\partial}{\partial r} \left( r \frac{\partial\psi^{(2)}}{\partial\vartheta} \right) = 0;$$

$$t = 0: \quad \xi(\vartheta) \equiv \sum_{l \in \Xi} Z_l P_l(\eta); \quad \eta \equiv \cos\vartheta; \quad \mathbf{U} = 0.$$

Решение этой задачи запишется в виде

$$\varphi(\mathbf{r}, t) \equiv \sum_n [C_n^{(1)} r^n + D_n^{(1)} r^{-(n+1)}] P_n(\eta) \exp(st),$$

$$\psi^{(1)}(\mathbf{r}, t) \equiv \sum_n [C_n^{(2)} i_n(xr) + D_n^{(2)} k_n(xr)] P_n(\eta) \exp(st),$$

$$\psi^{(2)}(\mathbf{r}, t) \equiv \sum_n [C_n^{(4)} i_n(xr) + D_n^{(4)} k_n(xr)] P_n(\eta) \exp(st),$$

(10)

где неизвестные коэффициенты  $C_n^{(1)}, D_n^{(1)}, C_n^{(2)}, D_n^{(2)}, C_n^{(4)}, D_n^{(4)}$  определены в приложении соотношениями (П.3), а значения частоты удовлетворяют дисперсионному уравнению:

$$\det B_{ij} = 0. \quad (11)$$

Соответствие между элементами  $B_{ij}$  определителя модельной задачи (11) и элементами  $A_{ij}$  определителя точной задачи (9) следующее: для  $1 \leq i \leq 3, 1 \leq j \leq 5, B_{ij} \equiv A_{ij}$ , для  $i = 5, 6, j = 1, 2, B_{ij} \equiv A_{i-1,j}$ , для  $i = 5, 6, j = 6, 7, B_{ij} \equiv A_{i,j-3}$ . Коэффициенты  $B_{43}, B_{44}, B_{75}, B_{76}$ , получающиеся из условий обращения ротора поля скоростей в нуль на нижней и верхней границах приповерхностного и придонного пограничных слоев, соответственно равны:

$$B_{43} = i_n(\mu_1), \quad B_{44} = k_n(\mu_1), \quad B_{75} = i_n(\mu_2), \quad B_{76} = k_n(\mu_2),$$

$$\mu_1 \equiv \sqrt{\frac{s}{v}} (1 - \delta_1), \quad \mu_2 \equiv \sqrt{\frac{s}{v}} (R_0 + \delta_2).$$

В асимптотике малой вязкости дисперсионное уравнение (11) совпадает с дисперсионным уравнением точной задачи в той же асимптотике (П.2).

## 5. Упрощение модельной задачи в рамках теории пограничного слоя и ее решение

Математическая формулировка модельной задачи в пределе малой вязкости может быть упрощена с помощью построений, аналогичных тем, что используются в традиционной теории пограничного слоя, связанных с наличием свободной поверхности и дна [13–15]. Нижеследующее упрощение основано на оценочных рассуждениях, которые возможно провести и в отсутствие точного решения.

Выделим наиболее существенные свойства точного решения задачи вблизи свободной поверхности и вблизи поверхности твердого ядра. Течение состоит из главной (потенциальной) и двух добавочных погранслоев (вихревых) частей  $\mathbf{U}(\mathbf{r}, t) = U^{(p)}(\mathbf{r}, t) + U^{(e)}(\mathbf{r}, t)$ . Для основной части движения характерный линейный масштаб  $l$ , на котором изменяются компоненты скорости, определяется вдоль поверхности градины (по углу  $\vartheta$ ) радиусом градины:  $l \sim \pi R$ , а перпендикулярно поверхности (по радиальной переменной  $r$ ) толщиной слоя жидкости:  $l \sim R - R_0$ . Для вихревой части течения характерный линейный масштаб, на котором изменяются компоненты скорости в направлении, перпендикулярном пограничным слоям, равен толщине каждого из слоев  $l \sim \delta_j$ , а по углу  $\vartheta$  определяется радиусом градины:  $l \sim \pi R$ . В проведенных рассуждениях для наглядности использовались размерные величины, в принятом выше безразмеривании нужно принять  $R = 1$ .

На основании вышеизложенного введем правила оценки производных от искоемых величин по пространственным координатам. Для производных от потенциальной части течения  $U^{(p)}(\mathbf{r}, t)$  будем пользоваться следующим формальным правилом построения оценки: оператор дифференцирования  $\partial_r$  переходит в оператор умножения  $1/(R - R_0)$ , а оператор  $\frac{1}{r} \partial_\vartheta$  — в оператор умножения на  $1/\pi R$ . Для вихревых частей  $U^{(e)}(\mathbf{r}, t)$ , определенных в пограничных слоях, правило оценки производных другое — операторы дифференцирования  $\partial_r$  переходят в операторы умножения на  $1/\delta_1$  и  $1/\delta_2$  для  $\psi^{(1)}$  и  $\psi^{(2)}$  соответственно, а оператор  $(1/r)\partial_\vartheta$  — в оператор умножения на  $1/\pi R$ .

Воспользуемся малостью значений толщины приповерхностного и придонного пограничных слоев  $\delta_1$ ,  $\delta_2$  по сравнению с радиусом градины и по сравнению с толщиной слоя жидкости, и в суммах вида  $A + B$  будем пренебрегать слагаемым  $B$ , если

$$B/A \sim O(\delta_i^2/(R - R_0)^2),$$

$$B/A \sim O(\delta_i^2/(\pi R)^2), \quad i = 1, 2.$$

Пусть  $V$  — характерное значение скорости потенциального течения на свободной поверхности жидкости  $r = 1$ . Тогда имеем следующие оценки:

$$U_r^{(p)}(\mathbf{r}, t) \sim U_\vartheta^{(p)}(\mathbf{r}, t) \sim V, \quad U_r^{(e)} \sim \frac{\delta^2}{\pi R(R - R_0)} V,$$

$$U_\vartheta^{(e)} \sim \frac{\delta}{(R - R_0)} V.$$

В принятых безразмерных переменных последние две оценки будут иметь вид:

$$U_r^{(e)} \sim \frac{\delta^2}{\pi(1 - R_0)} V, \quad U_\vartheta^{(e)} \sim \frac{\delta}{(1 - R_0)} V.$$

Учитывая все приведенные выше рассуждения, модифицируем математическую формулировку модельной зада-

чи к упрощенному виду

$$R_0 \leq r \leq 1: \quad \Delta\varphi(\mathbf{r}, t) = 0;$$

$$\Delta\phi = 0; \quad P(\mathbf{r}, t) = -\frac{\partial\varphi(\mathbf{r}, t)}{\partial t};$$

$$1 - \delta_1 \leq r \leq 1: \quad \Delta\psi^{(1)}(\mathbf{r}, t) - \frac{1}{v} \frac{\partial\psi^{(1)}(\mathbf{r}, t)}{\partial t} = 0;$$

$$r = 1: \quad \frac{\partial\xi}{\partial t} = \frac{\partial\varphi}{\partial r} - \frac{1}{r} \Delta_\Omega\psi^{(1)};$$

$$2 \frac{\partial}{\partial r} \left( \frac{\varphi}{r} \right) + \left( \frac{\partial^2}{\partial r^2} - 2 \right) \psi^{(1)} = 0;$$

$$-p^{\text{in}}(\mathbf{r}, t) + 2v \frac{\partial^2\varphi}{\partial r^2} - p_E(\xi) + p_\sigma(\xi) = 0;$$

$$r = 1 - \delta_1: \quad \frac{\partial}{\partial\vartheta} \psi^{(1)} = 0;$$

$$R_0 \leq r \leq R_0 + \delta_2: \quad \Delta\psi^{(2)}(\mathbf{r}, t) - \frac{1}{v} \frac{\partial\psi^{(2)}(\mathbf{r}, t)}{\partial t} = 0;$$

$$r = R_0 + \delta_2: \quad \frac{\partial}{\partial\vartheta} \psi^{(2)} = 0;$$

$$r = R_0: \quad \frac{\partial\varphi}{\partial r} - \frac{1}{r} \Delta_\Omega\psi^{(2)} = 0;$$

$$\frac{1}{r} \frac{\partial\varphi}{\partial\vartheta} + \frac{1}{r} \frac{\partial}{\partial r} \left( r \frac{\partial\psi^{(2)}}{\partial\vartheta} \right) = 0;$$

$$t = 0: \quad \xi(\vartheta) \equiv \sum_{l \in \Xi} Z_l P_l(\eta); \quad \eta \equiv \cos \vartheta; \quad \mathbf{U} = 0.$$

Решение этой задачи будет иметь вид (10), но с другими коэффициентами  $C_n^{(1)}$ ,  $D_n^{(1)}$ ,  $C_n^{(2)}$ ,  $D_n^{(2)}$ ,  $C_n^{(4)}$ ,  $D_n^{(4)}$ , определенными в приложении соотношениями (П.4), и значениями частоты, удовлетворяющими дисперсионному уравнению:

$$\det C_{ij} = 0 \quad (12)$$

Коэффициенты  $C_{ij}$  определителя упрощенной модельной задачи (12) полностью совпадают с коэффициентами  $B_{ij}$  определителя модельной задачи (11), за исключением следующих:

$$C_{23} \equiv -2xi_{n+1}(x) + (x^2 + n(n+1) - 2)i_n(x);$$

$$C_{24} \equiv 2xk_{n+1}(x) + (x^2 + n(n+1) - 2)k_n(x);$$

$$C_{33} \equiv C_{34} \equiv 0.$$

В асимптотике малой вязкости дисперсионное уравнение (12) совпадает с дисперсионным уравнением точной задачи в той же асимптотике (П.2).

## 6. Оценка погрешности приближенного решения

Пользуясь выражениями (6), запишем решения для радиальной составляющей поля скоростей точной задачи

$$U_r^{(p)} \equiv \frac{\partial \varphi}{\partial r} \equiv \sum_n [C_n^{(1)} n r^{n-1} - D_n^{(1)} (n+1) r^{-(n+2)}] P_n(\eta) \exp(st),$$

$$U_r^{(e)} \equiv -\frac{1}{r} \Delta_\Omega \psi \equiv \frac{1}{r} \sum_n [C_n^{(3)} i_n(xr) + D_n^{(3)} k_n(xr)] n(n+1) P_n(\eta) \exp(st)$$

с коэффициентами, определенными (П.1).

Для радиальной составляющей поля скоростей упрощенной модельной задачи будем иметь

$$R_0 \leq r \leq 1: \quad U_r^{(p)} = \frac{\partial \varphi}{\partial r} = \sum_n [C_n^{(1)} n r^{n-1} - D_n^{(1)} (n+1) r^{-(n+2)}] P_n(\eta) \exp(st);$$

$$1 - \delta_1 \leq r \leq 1: \quad U_r^{(e)} = \frac{1}{r} \sum_n [C_n^{(2)} i_n(xr) + D_n^{(2)} k_n(xr)] \times n(n+1) P_n(\eta) \exp(st);$$

$$R_0 \leq r \leq R_0 + \delta_2: \quad U_r^{(e)} = \frac{1}{r} \sum_n [C_n^{(4)} i_n(xr) + D_n^{(4)} k_n(xr)] n(n+1) P_n(\eta) \exp(st),$$

с коэффициентами, определенными (П.4).

Для угловых компонент скорости получим

$$U_\vartheta^{(p)}(\mathbf{r}, t) \equiv \sum_n [C_n^{(1)} r^{n-1} + D_n^{(1)} r^{-(n+2)}] \frac{\partial}{\partial \vartheta} P_n(\eta) \exp(st);$$

$$U_\vartheta^{(e)} \equiv \frac{1}{r} \frac{\partial}{\partial r} \left( r \frac{\partial \psi}{\partial \vartheta} \right) \equiv \frac{\partial}{\partial \vartheta} \left( \frac{\partial}{\partial r} \psi + \frac{\psi}{r} \right) \equiv \left( C_n^{(j)} \left[ x i_{n+1}(xr) + \frac{(n+1)}{r} i_n(xr) \right] + D_n^{(j)} \left[ -x k_{n+1}(xr) + \frac{(n+1)}{r} k_n(xr) \right] \right) \frac{\partial}{\partial \vartheta} P_n(\eta) \exp(st).$$

Значение  $j = 3$  соответствует точной задаче, а  $j = 2, 4$  — модельной упрощенной задаче для случаев  $1 - \delta_1 \leq r \leq 1$  и  $R_0 \leq r \leq R_0 + \delta_2$  соответственно. В выражениях, получаемых из точной задачи, коэффициенты определены (П.1), для приближенного решения коэффициенты определены (П.4).

Погрешность замены точного решения модельным, приближенным в рамках представлений о пограничном слое, оценим по формулам:

$$\varepsilon_r = |U_r - U_r^* / U_r|$$

и

$$\varepsilon_\vartheta = |U_\vartheta - U_\vartheta^* / U_\vartheta|,$$

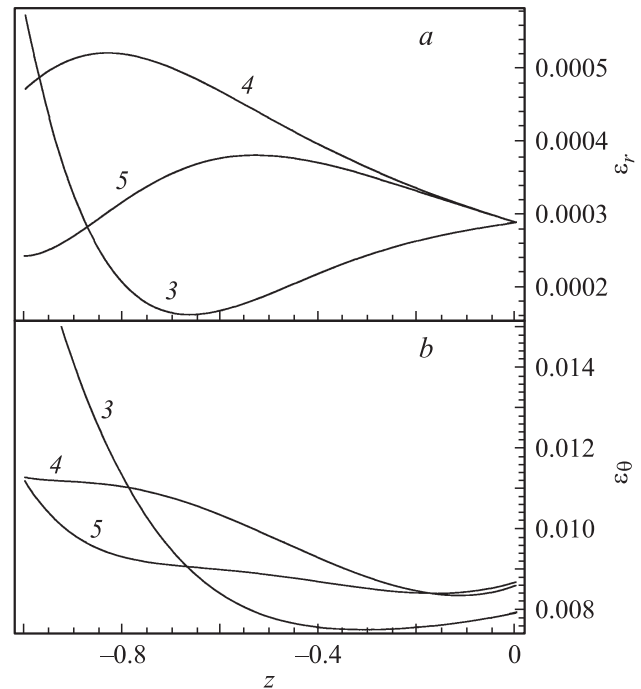
где  $U_r$  и  $U_\vartheta$  — полные (учитывающие и потенциальное, и вихревое слагаемое) проекции точного поля скоростей на орты сферической системы координат, а  $U_r^*$  и  $U_\vartheta^*$  — полные проекции поля скоростей, полученные в рамках теории пограничного слоя.

На рис. 2 и 3 приведены результаты расчетов  $\varepsilon_r$  и  $\varepsilon_\vartheta$  для приповерхностного и придонного пограничных слоев. Для наглядности графического представления результатов введена новая переменная  $z$ :

$$1 - \delta_1 \leq r \leq 1: \quad z = \frac{r-1}{\delta_1} \Rightarrow r = \delta_1 z + 1, \quad -1 \leq z \leq 0;$$

$$R_0 \leq r \leq R_0 + \delta_2: \quad z = \frac{r - (R_0 + \delta_2)}{\delta_2} \Rightarrow r = \delta_2 z + (R_0 + \delta_2), \quad -1 \leq z \leq 0.$$

Из рис. 2 видно, что в приповерхностном пограничном слое погрешность для угловой компоненты поля скоростей примерно на порядок превосходит погрешность для радиальной компоненты поля скоростей. Согласно



**Рис. 2.** Относительные погрешности расчета радиальной (а) и угловой (б) проекций поля скоростей в приповерхностном слое, рассчитанные при  $R_0 = 0.8$ ,  $\nu = 0.002$ ,  $n = 10$ ,  $\vartheta = \pi/3$ ,  $Z_n = 0.1$ ,  $t = T/4$ . Цифрой при соответствующих кривых указано значение численного коэффициента  $G$  или  $H$ .

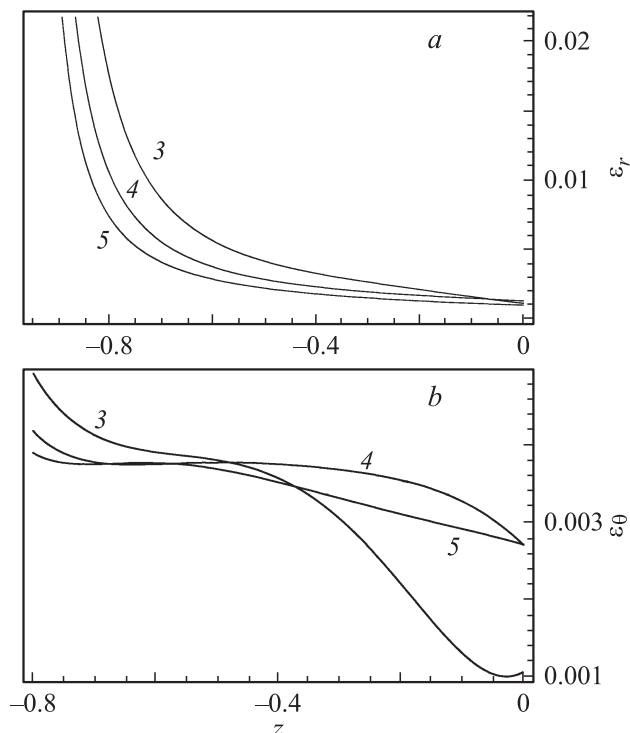


Рис. 3. То же, что на рис. 2, но для придонного слоя.

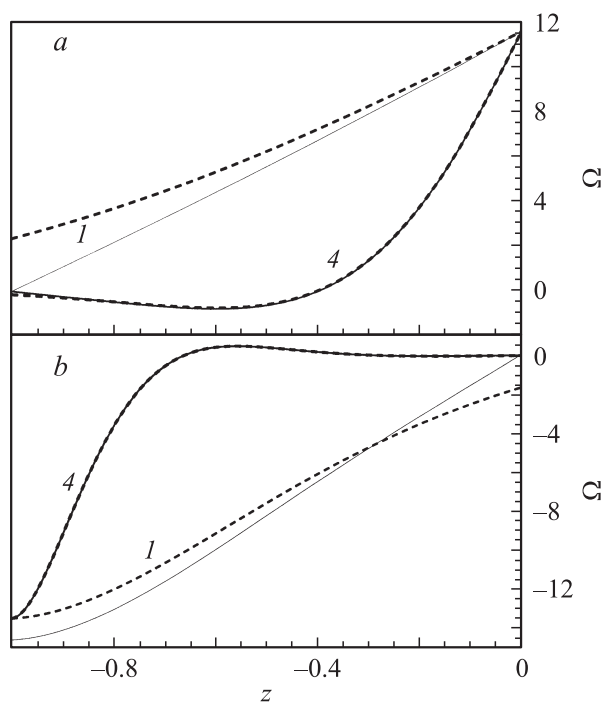


Рис. 4. Амплитуды ротора полей скоростей течения жидкости в приповерхностном (а) и придонном (б) слоях, рассчитанные для различных значений численных коэффициентов  $G$  и  $H$  (указано цифрой при соответствующих кривых) при  $R_0 = 0.8$ ,  $\nu = 0.002$ ,  $n = 10$ ,  $\vartheta = \pi/3$ ,  $Z_n = 0.1$ ,  $t = T/4$ . Пунктиром показано точное решение, сплошной — приближенное.

рис. 3, в придонном пограничном слое погрешность для угловой компоненты полей скоростей примерно на порядок меньше погрешности для радиальной компоненты поля скоростей, достигающей на верхней границе величины в несколько процентов. В обоих случаях при  $G, H = 4$  оцениваемые значения погрешности не превосходят одного процента практически в пределах всей толщины слоя.

На рис. 4 приведены зависимости модуля ротора поля скоростей для точного и приближенного решений в приповерхностном и придонном пограничных слоях, рассчитанные при  $G = H = 1$  и  $G = H = 4$ . Несложно видеть, что при  $G = H = 4$  приближенное решение отлично аппроксимирует точное: в приповерхностном и придонном слоях по всей толщине слоя точное и приближенное решения практически совпадают.

Отдельного рассмотрения заслуживает вопрос о влиянии величины напряженности внешнего электрического поля на толщину приповерхностного и придонного пограничных слоев. Если исходить из формул, определяющих толщину обоих пограничных слоев, то в них в знаменателе стоит вещественная часть частоты, которая зависит от параметра  $W$  [3–5], пропорционального квадрату напряженности электрического поля, и уменьшается с увеличением напряженности поля. Следовательно, увеличение напряженности внешнего электрического поля должно приводить к росту толщины пограничного слоя, что и подтверждается численными расчетами. Однако вследствие того что рассматривается реальная ситуация для градины в грозном облаке, где наблюдаемые напряженности полей много меньше критических для реализации неустойчивости низшей, основной моды ( $n = 2$ ), а погранслойные расчеты выполняются для высоких мод, то влияние внешнего электрического поля на толщину пограничных слоев будет слабым. С ростом кинематической вязкости те же формулы предсказывают увеличение обоих пограничных слоев. Для достаточно низких мод или при уменьшении частоты, сильно зависящей от номера моды, придонный и приповерхностный пограничные слои перекрываются, и вихревое движение заполняет весь объем слоя жидкости на поверхности твердого ядра, что отмечалось и для плоского случая [14].

## Заключение

В аналитических расчетах капиллярных осцилляций слоя маловязкой жидкости на поверхности твердого сферического ядра, проведенных в рамках теории пограничного слоя в первом порядке малости по амплитудам осцилляций, проанализированы зависимости толщины пограничных слоев у свободной поверхности и твердого дна от физических параметров задачи. Выяснилось, что для выполнения расчетов с погрешностью по отношению к точному решению, не превышающей единиц процентов, толщина пограничных слоев должна

примерно в четыре–пять раз превышать толщину, на которой интенсивность вихревого движения, порождаемого свободной поверхностью капли и твердым дном, уменьшается в 2.714 раз (в  $e$  раз). С увеличением вязкости жидкости толщина пограничного слоя растёт. Выяснилось, что в расчетах в рамках теории пограничного слоя осцилляций высоких мод жидкого слоя на поверхности падающей в облаке градины, возбуждающихся за счет столкновения со взвешенными в облаке мелкими капельками, наличие внешнего электрического поля проявляется весьма слабо.

## Приложение

1. Согласно [3–5,11,12], выражение для давления электрического поля имеет вид:

$$P_E = \frac{9F_0^2}{8\pi} P_2(\eta) + E_0^2 \left( \left[ \frac{9nK_{1,n-2,n-1}K_{1,n-1,n}}{4\pi} - \frac{3K_{2,n-2,n}}{2\pi} \right] M_{n-2}(t) + \left[ -\frac{3}{2\pi} + \frac{9nK_{1,n-1,n}K_{1,n,n-1}}{4\pi} + \frac{9(n+2)K_{1,n,n+1}K_{1,n+1,n}}{4\pi} - \frac{3K_{2,n,n}}{2\pi} \right] M_n(t) + \left[ \frac{9(n+2)K_{1,n+1,n}K_{1,2+n,1+n}}{4\pi} - \frac{3K_{2,2+n,n}}{2\pi} \right] M_{n+2}(t) \right) P_n(\eta);$$

$K_{mkn} = [C_{m0,k0}^{n0}]^2$ ,  $C_{m0,k0}^{n0}$  — коэффициенты Клебша–Гордана [20].

2. Выражения для коэффициентов  $C_n^{(1)}$ ,  $D_n^{(1)}$ ,  $C_n^{(3)}$ ,  $D_n^{(3)}$ , через которые в пределе малой вязкости выражаются функции  $\varphi(\mathbf{r}, t)$  и  $\psi(\mathbf{r}, t)$  точной задачи:

$$C_n^{(1)} \equiv \frac{-Z_n}{n\beta_n} \left\{ s + \frac{g_n(1+2n)\sqrt{sv}R_0^{2n}}{h_n\beta_n} + v \left[ -2h_n^2(-1+n^2) + 4q_n h_n n(2+n)R_0^{3+5n} - 2R_0^{1+4n} \left( 4q_n(1+2n) + h_n^2 n(2+n)R_0 \right) + 4h_n R_0^{-1} (-1-2n) + q_n(-1+n^2)R_0^2 - 4h_n R_0^{3n} \left( q_n(-1+2n(1+n))R_0^2 - 1 - 2n + R_0^{2n-1} \left( -g_n^2(1+2n)^2 + 8q_n(1+2n)R_0 + 2h_n^2(-1+2n(1+n))R_0^2 \right) \right] / h_n \beta_n^2 \right\};$$

$$h_n \equiv i_n(xR_0)/i_n(x) + k_n(xR_0)/k_n(x),$$

$$g_n \equiv i_n(xR_0)/i_n(x) - k_n(xR_0)/k_n(x);$$

$$q_n \equiv i_n(xR_0)k_n(xR_0)/i_n(x)k_n(x); \quad \beta_n \equiv -1 + R_0^{1+2n};$$

$$D_n^{(1)} \equiv \frac{Z_n}{(1+n)\beta_n} \left\{ -sR_0^{1+2n} - \frac{g_n(1+2n)\sqrt{sv}R_0^{2n}}{h_n\beta_n} + vR_0^{-1+n} \left[ 2h_n^2 n(2+n)R_0^{4+5n} - 4q_n h_n(n^2-1)R_0^2 - 2R_0^{2+3n} \left( +h_n^2(2n(1+n))R_0 - 1 \right) - 4q_n(1+2n) - 4h_n R_0^{2+4n} (1+2n + q_n n(2+n)R_0^2) + R_0^2 \left( g_n^2(1+2n)^2 - 8q_n(1+2n)R_0 + 2h_n^2(n^2-1)R_0^2 \right) + 4h_n R_0^{1+2n} \left( 1+2n + q_n(2n(1+n))R_0^2 - 1 \right) \right] / h_n^2 \beta_n^2 \right\};$$

$$C_n^{(3)} \equiv \frac{Z_n}{i_n(x)(1+n)n\beta_n} \left\{ \frac{(1+2n)\sqrt{sv}R_0^{-1+n}}{h_n} - \frac{v}{h_n} \left[ \frac{g_n(1+2n)^2 R_0^{-2+n}}{h_n \beta_n^3} - 2 \frac{k_n(xR_0)n\beta_n}{k_n(x)} (2+n) - \frac{2k_n(xR_0)(1+2n)(h_n - 2R_0^{-1})}{k_n(x)h_n} \right] \right\};$$

$$D_n^{(3)} \equiv \frac{Z_n}{k_n(x)n(1+n)\beta_n} \left\{ -\frac{(1+2n)\sqrt{sv}R_0^{-1+n}}{h_n} - \frac{v}{h_n} \left[ -\frac{2nk_n(xR_0)(2+n)\beta_n}{k_n(x)} - \frac{(1+2n)^2 R_0^{n-2}}{\beta_n} - \frac{2k_n(xR_0)(h_n - 2R_0^{-1})}{k_n(x)h_n} \right] \right\}. \quad (\text{П.1})$$

Для дисперсионного уравнения в пределе  $v \rightarrow 0 \Rightarrow x \rightarrow \infty$  с учетом свойств модифицированных сферических функций при больших аргументах [17]

$$\lim_{x \rightarrow \infty} \frac{i_n(xR_0)}{i_n(x)} \rightarrow 0, \quad \lim_{x \rightarrow \infty} \frac{k_n(xR_0)}{k_n(x)} \rightarrow \infty$$

получим

$$s^3(-R_0^{-1-n}(1+n+nR_0^{1+2n})) + s^{5/2}\sqrt{v}(R_0^{-2-n}(1+3n + 2n^2 + 2(1+n)R_0 + 2nR_0^{2+2n})) + s^2v(-2(1+3n + 2n^2)R_0^{-2-n}(1+(-1+n)R_0 + nR_0^{2+2n})) + \chi \left[ \sqrt{sv}(n(-2-n+2n^2+n^3)R_0^{-2-n}(1+2n+2R_0 - 2R_0^{2+2n})) + s(n(-2-n+2n^2+n^3)R_0^{-1-n} \times (-1+R_0^{1+2n})) + v(-2n(-2-5n+5n^3+2n^4) \times R_0^{-2-n}(1+R_0^{2+2n})) \right] = 0.$$

Для высоких мод осцилляций ( $10 \leq n \leq 30$ ), которые возбуждаются в слое жидкости на поверхности тающей свободно падающей градины при столкновениях со взвешенными в воздухе облачными капельками [3–4,12], это уравнение может быть упрощено. Для этого разделим все уравнение на выражение, стоящее в квадратных скобках при  $\chi$ , с последующим разложением по степеням отношения  $\nu/s$ . В итоге получим

$$\begin{aligned} & -s^2 \frac{(1+n+nR_0^{1+2n})}{(1+n)\beta_n} - s^{3/2} \sqrt{\nu} \frac{(1+2n)^2 R_0^{2n}}{(1+n)\beta_n^2} \\ & + \frac{s\nu}{(1+n)R_0\beta_n^3} [(-1-2n)(2n^2-1)R_0 + (1+2n)^2 R_0^{2n} \\ & - 2(n^2-1)R_0^{2+2n} - 2n(2+n)R_0^{3+4n} + 2n(2+n)R_0^{4+6n}] \\ & + \omega^2 = 0. \end{aligned} \quad (\text{П.2})$$

3. Выражения для коэффициентов  $C_n^{(1)}$ ,  $D_n^{(1)}$ ,  $C_n^{(2)}$ ,  $D_n^{(2)}$ ,  $C_n^{(4)}$ ,  $D_n^{(4)}$ , через которые выражаются функции  $\varphi(\mathbf{r}, t)$  и  $\psi^{(1)}(\mathbf{r}, t)$  и  $\psi^{(2)}(\mathbf{r}, t)$ , в модельной задаче в пределе малой вязкости:

$$\begin{aligned} C_n^{(1)} \equiv & \frac{-Z_n}{n\beta_n} \left\{ s + \frac{(1+2n)\sqrt{s\nu}(-1+\tau_{3,n})R_0^{2n}}{(1+\tau_{3,n})\beta_n} \right. \\ & + \frac{\nu}{(1+\tau_{3,n})^2} \left[ 2(-1+n^2)(1+\tau_{3,n})^2 + 2n(2+n) \right. \\ & \times (1+\tau_{3,n})^2 R_0^{2+4n} + R_0^{2n-1} \left( (1+2n)^2 (\tau_{3,n}-1)^2 \right. \\ & \left. \left. - 2(2n(1+n)-1)(1+\tau_{3,n})^2 R_0 \right) \right] / \beta_n^2 \left. \right\}, \end{aligned}$$

$$\tau_{2,n} \equiv k_n(\mu_2) i_n(xR_0) / k_n(xR_0) i_n(\mu_2),$$

$$\tau_{3,n} \equiv k_n(\mu_3) i_n(xR_0) / k_n(xR_0) i_n(\mu_3),$$

$$\begin{aligned} D_n^{(1)} \equiv & \frac{-Z_n}{(1+n)\beta_n} \left\{ sR_0^{1+2n} + \frac{(1+2n)\sqrt{s\nu}(-1+\tau_{3,n})R_0^{2n}}{(1+\tau_{3,n})\beta_n} \right. \\ & - \nu \left[ R_0^{-1+2n} \left( -(1+2n)^2 - 2R_0^2\beta_n \right) \right. \\ & \times (1-n^2+n(2+n)R_0^{1+2n}) + \tau_{3,n}^2 \left( -(1+2n)^2 - 2R_0^2\beta_n \right. \\ & \times (1-n^2+n(2+n)R_0^{1+2n}) \left. \left. + 2\tau_{3,n} \left( (1+2n)^2 - 2R_0^2\beta_n \right) \right) \right] / \beta_n^2 (1+\tau_{3,n})^2 \left. \right\}; \end{aligned}$$

$$C_n^{(2)} \equiv -\frac{2\tau_{2,n}(1-n^2+2nR_0^{1+2n}+n^2R_0^{1+2n})}{i_n(x)n(1+n)(-1+\tau_{2,n})\beta_n} \nu Z_n;$$

$$D_n^{(2)} = -C_n^{(2)} \tau_{2,n} / k_n(x);$$

$$\begin{aligned} C_n^{(4)} \equiv & \frac{Z_n(1+2n)\tau_{3,n}R_0^{-1+n}}{n(1+n)i_n(xR_0)(1+\tau_{3,n})\beta_n} \\ & \times \left( \sqrt{s\nu} + \nu \frac{(1+2n)(\tau_{3,n}-1)R_0^{-1}}{(1+\tau_{3,n})\beta_n} \right); \\ D_n^{(4)} = & -C_n^{(4)} \tau_{3,n} / k_n(xR_0). \end{aligned} \quad (\text{П.3})$$

Дисперсионное уравнение модельной задачи в асимптотике малой вязкости совпадает с (П.2).

4. Выражения для коэффициентов  $C_n^{(1)}$ ,  $D_n^{(1)}$ ,  $C_n^{(2)}$ ,  $D_n^{(2)}$ ,  $C_n^{(4)}$ ,  $D_n^{(4)}$ , через которые выражаются функции  $\varphi(\mathbf{r}, t)$  и  $\psi^{(1)}(\mathbf{r}, t)$  и  $\psi^{(2)}(\mathbf{r}, t)$  в упрощенной модельной задаче в пределе малой вязкости

$$\begin{aligned} C_n^{(1)} \equiv & \frac{-Z_n}{n\beta_n} \left\{ s + \frac{(1+2n)\sqrt{s\nu}(-1+\tau_{3,n})R_0^{2n}}{(1+\tau_{3,n})\beta_n} \right. \\ & + \frac{\nu}{(1+\tau_{3,n})^2} \left[ 2(-1+n^2)(1+\tau_{3,n})^2 \right. \\ & + 2n(2+n)(1+\tau_{3,n})^2 R_0^{2+4n} + R_0^{2n-1} \left( (1+2n)^2 \right. \\ & \left. \left. \times (\tau_{3,n}-1)^2 - 2(2n(1+n)-1)(1+\tau_{3,n})^2 R_0 \right) \right] / \beta_n^2 \left. \right\}, \end{aligned}$$

$$\tau_{2,n} \equiv k_n(\mu_2) i_n(xR_0) / k_n(xR_0) i_n(\mu_2),$$

$$\tau_{3,n} \equiv k_n(\mu_3) i_n(xR_0) / k_n(xR_0) i_n(\mu_3)$$

$$\begin{aligned} D_n^{(1)} \equiv & \frac{-Z_n}{(1+n)\beta_n} \left\{ sR_0^{1+2n} + \frac{(1+2n)\sqrt{s\nu}(-1+\tau_{3,n})R_0^{2n}}{(1+\tau_{3,n})\beta_n} \right. \\ & - \nu \left[ R_0^{-1+2n} \left( -(1+2n)^2 \right. \right. \\ & - 2R_0^2\beta_n(1-n^2+n(2+n)R_0^{1+2n}) + \tau_{3,n}^2 \left( -(1+2n)^2 \right. \\ & - 2R_0^2\beta_n(1-n^2+n(2+n)R_0^{1+2n}) \left. \left. + 2\tau_{3,n} \left( (1+2n)^2 \right. \right. \right. \\ & \left. \left. - 2R_0^2\beta_n(1-n^2+n(2+n)R_0^{1+2n}) \right) \right] / \beta_n^2 (1+\tau_{3,n})^2 \left. \right\}; \end{aligned}$$

$$C_n^{(2)} \equiv -\frac{2\tau_{2,n}(1-n^2+2nR_0^{1+2n}+n^2R_0^{1+2n})}{i_n(x)n(1+n)(-1+\tau_{2,n})\beta_n} \nu Z_n;$$

$$D_n^{(2)} = -C_n^{(2)} \tau_{2,n} / k_n(x);$$

$$\begin{aligned} C_n^{(4)} \equiv & \frac{Z_n(1+2n)\tau_{3,n}R_0^{-1+n}}{n(1+n)i_n(xR_0)(1+\tau_{3,n})\beta_n} \\ & \times \left( \sqrt{s\nu} + \nu \frac{(1+2n)(\tau_{3,n}-1)R_0^{-1}}{(1+\tau_{3,n})\beta_n} \right); \\ D_n^{(4)} = & -C_n^{(4)} \tau_{3,n} / k_n(xR_0). \end{aligned} \quad (\text{П.4})$$

Дисперсионное уравнение упрощенной модельной задачи в асимптотике малой вязкости совпадает с (П.2).

Работа выполнена в рамках тематического плана университета, при поддержке грантов: Рособразования № РНП 2.1.1/3776 и РФФИ № 09-01-00084.

## Список литературы

- [1] Дьячук В.А., Мучник В.А. // ДАН СССР. 1979. Т. 248. № 1. С. 60–63.
- [2] Мучник В.М., Фишман Б.Е. Электризация грубодисперсных аэрозолей в атмосфере. Л.: Гидрометеиздат, 1983. 280 с.
- [3] Grigor'ev A.I., Shiryayeva S.O. // Phys. Scripta. 1996. Vol. 54. P. 660–666.
- [4] Ширяева С.О., Григорьев А.И. Заряженная капля в грозовом облаке. Ярославль: Изд-во ЯрГУ им. П.Г. Демидова, 2008. 535 с.
- [5] Григорьев А.И., Коромыслов В.А., Ширяева С.О. // ЖТФ. 2010. Т. 80. Вып. 8. С. 22–31.
- [6] Золотой Н.Б., Карпов Г.В., Скурат В.Е. // ЖТФ. 1988. Т. 58. Вып. 2. С. 315–323.
- [7] Ширяева С.О., Григорьев А.И. // ЖТФ. 1993. Т. 63. Вып. 8. С. 162–170.
- [8] Григорьев А.И., Морозов В.В., Ширяева С.О. // ЖТФ. 2002. Т. 72. Вып. 10. С. 33–37.
- [9] Григорьев А.И., Ширяева С.О., Морозов В.В. // ЖТФ. 2003. Т. 73. Вып. 6. С. 21–28.
- [10] Григорьев А.И., Лазарянец А.Э. // ЖТФ. 1990. Т. 60. Вып. 6. С. 29–36.
- [11] Григорьев А.И., Коромыслов В.А., Ширяева С.О. // ЖТФ. 1997. Т. 67. Вып. 9. С. 8–13.
- [12] Григорьев А.И., Коромыслов В.А., Ширяева С.О. // ЖТФ. 2009. Т. 79. Вып. 11. С. 10–19.
- [13] Белоножко Д.Ф., Григорьев А.И. // ЖТФ. 2008. Т. 78. Вып. 3. С. 21–28.
- [14] Григорьев А.И., Пожарицкий Д.М., Ширяева С.О. // ЖТФ. 2009. Т. 79. Вып. 5. С. 8–17.
- [15] Ширяева С.О., Григорьев А.И., Паранин А.Р. // ЖТФ. 2010. Т. 80. Вып. 10. С. 30–36.
- [16] Ширяева С.О., Лазарянец А.Э., Григорьев А.И. и др. Метод скаляризации векторных краевых задач. Препринт ИМРАН № 27. Ярославль, 1994. 126 с.
- [17] Абрамовиц М., Стиган И. Справочник по специальным функциям. М.: Наука, 1979. 830 с.
- [18] Longuet-Higgins M.S. // Royal Soc. London. Trans. Ser. A. 1953. Vol. 245. 903. P. 535–581.
- [19] Шлихтинг Г. Теория пограничного слоя. М.: Наука, 1974. 712 с.
- [20] Варшалович Д.А., Москалев А.Н., Херсонский В.К. Квантовая теория углового момента. Л.: Наука, 1975. 439 с.